

## СТРУКТУРНИЙ І ДИНАМІЧНИЙ СТРУКТУРНИЙ ФАКТОРИ ОДНОВИМІРНИХ ЙОННИХ ПРОВІДНИКІВ

Р. Я. Стеців<sup>1</sup>, О. Я. Фаренюк<sup>1,2</sup> 

<sup>1</sup>Інститут фізики конденсованих систем НАН України, вул. Свєнсіцького, 1, Львів, 79011, Україна  
e-mail: stetsiv@icstr.liv.ua

<sup>2</sup>Український Католицький Університет, вул. Козельницька, 2а, Львів, 79026, Україна  
e-mail: indrekis@icstr.liv.ua

(Отримано 13 листопада 2023 р.; в остаточному вигляді — 15 лютого 2024 р.; прийнято до друку — 28 лютого 2024 р.; опубліковано онлайн — 02 травня 2024 р.)

Методом точної діагоналізації в межах розширеної моделі жорстких бозонів розраховано енергетичний спектр одновимірного скінченного йонного провідника з періодичними граничними умовами. Досліджено одночастинкову кореляцію, розраховано структурний і динамічний структурний фактори за температури  $T = 0$ . Показано наявність далекосіжної одночастинкової кореляції у фазі типу суперфлюїду (SF). Отримані максимуми структурного фактора при хвильовому векторі  $k = \pi/a$  за половинного заповнення йонних позицій (густина  $\rho = 0.5$ ), як і максимуми динамічного структурного фактора в ділянці частот, що за енергією відповідають ширині забороненої зони, підтверджують наявність упорядкованої модульованої (CDW) фази за  $\rho = 0.5$ . Наявність максимумів динамічного структурного фактора в ділянці низьких частот за  $\rho = 0.25$  підтверджує можливість фази типу суперфлюїду.

**Ключові слова:** йонний провідник, модель жорстких бозонів, структурний фактор, динамічний структурний фактор.

DOI: <https://doi.org/10.30970/jps.28.2701>

### I. ВСТУП

Протягом останніх десятиліть спостерігаємо зростання зацікавленості системами низької розмірності традиційно у фізиці конденсованих середовищ, а нещодавно й у фізиці квантових газів. Сучасні досягнення в атомній хвилеводній технології [1–5], реалізація квантових газів у дуже анізотропних пастках [6, 7], отримання конденсату Бозе–Айнштейна на оптичних ґратках [8–10] дали змогу експериментаторам одержати багато різноманітних систем, де зниження розмірності спричиняє появу особливих властивостей. Особливо цікавим є випадок, коли квантова динаміка системи стає квазіодновимірною. Ця робота є продовженням попередніх наших досліджень фізичних властивостей одновимірних йонних провідників. У попередніх наших працях установлені ділянки наявності різних фаз для одновимірних йонних провідників залежно від величини взаємодії між іонами [11–14]. Показано можливість появи фази типу суперфлюїду (SF) (фаза з безмежно великою (роздільною) довжиною кореляції між частинками). Розраховано динамічну та статичну провідність [15].

Квантову систему взаємодійних частинок можна характеризувати аналізом її реакції на слабке збурення. У межах теорії лінійного відгуку ключова величина — динамічний структурний чинник, який є фур'є-перетворенням просторово-часової кореляційної функції густини-густини. Знання динамічного структурного фактора дає повну картину появи квазічастинкових мод, енергію їх збудження, час життя та середню заселеність. Ці моди визначають колективні флуктуації густини системи, а також можуть характеризувати критичну поведінку поблизу фазового переходу

(див., наприклад, [16–18]). У конденсованому середовищі динамічний структурний фактор можна виміряти за допомогою непружного розсіювання нейтронів.

У цій праці розраховано структурний і динамічний структурні фактори. Теоретичний опис систем з іонною провідністю переважно ґрунтуються на ґраткових моделях. Частина з них трактує іони як фермі-частинки, хоча послідовніше описувати іони за допомогою “змішаної” статистики Паулі [12, 19–31], у якій частинки, з одного боку, мають бозонну природу, а з іншого — підлягають правилам заборони Фермі. Ґраткова модель частинок Паулі подібна до моделі Бозе–Габбарда в наближенні “жорстких” бозонів (за обмеження на числа заповнення  $n_i = 0, 1$ ) (НСВ). Жорсткі бозони були реалізовані експериментально за наявності ґратки вздовж 1D труб [32].

У цій праці, використовуючи метод точної діагоналізації для скінченних одновимірних йонних провідників з періодичними граничними умовами, у межах підходу жорстких бозонів розраховано енергетичний спектр, досліджено одночастинкову кореляцію, розраховано структурний і динамічний структурний фактори за температури  $T = 0$ . Досліджено залежність динамічного структурного фактора від хвильового вектора й частоти в різних фазах йонного провідника.

### II. МОДЕЛЬ

Йонні провідники ми описуємо квантовою ґратковою моделлю в наближенні жорстких бозонів. Розглядаємо одновимірний кластер з  $N$  позиціями для іона з періодичними граничними умовами. Гамільтоніан



ніан цієї моделі для ланцюжкової структури (яку тут розглядаємо) можна записати так:

$$\hat{H} = t \sum_i (c_i^+ c_{i+1} + c_{i+1}^+ c_i) + V \sum_i n_i n_{i+1} - \mu \sum_i n_i + A \sum_i (-1)^i n_i. \quad (1)$$

Модель враховує переміщення іонів між сусідніми позиціями (параметр перенесення  $t$ ) і короткосяжну відштовхувальну взаємодію між іонами, що заселяють сусідні позиції (параметр взаємодії  $V$ ), а також модулювальне поле  $A$ . Поле  $A$  сприяє модуляції в просторовому розподілі іонів у т.зв. впорядкованій фазі (наявність такої фази за низьких температур є характерною рисою суперіонних провідників).

Тут оператори  $c_i$ ,  $(c_i^+)$  є операторами жорстких бозонів, (операторами частинок Паулі). Вони описують знищенння (народження) частинки в позиції  $i$ ,  $n_i = c_i^+ c_i$  — заселеність цієї позиції (тут власні значення  $n_i$  дорівнюють 0 чи 1). Оператори народження та знищенння частинок Паулі, що належать до різних позицій, комутують, як це властиво для бозонів:

$$[c_k, c_m^+] = [c_k, c_m] = [c_k^+, c_m^+] = 0, k \neq m, \quad (2)$$

У тій самій позиції ці оператори задовольняють антикомутаційні співвідношення, типові для ферміонів:

$$\{c_m, c_m^+\} = 1, c_m^{+2} = c_m^2 = 0. \quad (3)$$

### III. ОСНОВНІ СПІВВІДНОШЕННЯ

Енергетичний спектр ланцюжкової структури з періодичними граничними умовами розраховано методом точної діагоналізації. Для ланцюжка із  $N$  позиціями в основній ділянці вводимо багаточастинкові стани  $|n_1, n_2 \dots n_N\rangle$ . Матриця гамільтоніана, як і матриці  $c_i$  і  $c_i^+$ , будується на базисі цих станів. Вона діагоналізується числовим способом. Це відповідає перетворенню:

$$U^{-1} H U = \tilde{H} = \sum_p \lambda_p \tilde{X}^{pp}, \quad (4)$$

де  $\lambda_p$  — власні значення гамільтоніана,  $\tilde{X}^{pp}$  — оператори Габбарда.  $\tilde{X}^{pq}$  — проекційний оператор на стан  $p$ , оператор  $\tilde{X}^{pq} = |p\rangle\langle q|$  переводить стан  $|q\rangle$  у стан  $|p\rangle$  (див. [33], а також [34]). Таке саме перетворення застосовуємо до операторів народження та знищенння частинок у позиції  $i$  на ланцюжку:

$$U^{-1} c_i U = \sum_{pq} A_{pq}^i \tilde{X}^{pq}, \quad U^{-1} c_i^+ U = \sum_{rs} A_{rs}^{i*} \tilde{X}^{sr}, \quad (5)$$

де коефіцієнти  $A_{pq}^i$  є матричними елементами оператора  $c_i$  на новому базисі.

Для характеристизації різних фаз необхідно розрахувати ряд фізичних величин. Поява далекого порядку вказує на наявність упорядкованої фази (фази “solid”)

(зокрема фази charge density waves, CDW, яку ми отримали в попередніх працях [12, 14]). Стан ізолятора засвідчує також появу щілини в спектрі. Важливою характеристикою такої фази є кореляційна функція густини—густини:

$$b(l) = \langle n_{j+l} n_j \rangle, \quad (6)$$

і відмінний від нуля структурний фактор  $S(k)$ , що є її фур'є-образом:

$$S(k) = \frac{1}{N^2} \sum_{lm} e^{ik(R_l - R_m)} \langle n_l n_m \rangle, \quad (7)$$

з розрахунку на одну позицію гратки.

Стан системи характеризується також одночастинковими кореляціями

$$\rho_{lm} = \langle c_l^+ c_m \rangle, \quad (8)$$

і відповідним фур'є-образом:

$$n(k) = \frac{1}{N^2} \sum_{lm} e^{ik(R_l - R_m)} \langle c_l^+ c_m \rangle. \quad (9)$$

Динамічний структурний фактор визначаємо так (див., наприклад, [18, 34, 35]):

$$S(k, \omega) = \langle \langle \rho_k | \rho_{-\omega} \rangle \rangle_\omega, \quad (10)$$

як фур'є-образ двочасової температурної функції Гріна. Тут:

$$\rho_k = \frac{1}{N} \sum_j n_j e^{ik(R_j)}. \quad (11)$$

У представлений вторинного квантування:

$$\rho_k = \sum_q c_{q+k}^+ c_q, \quad (12)$$

оператор  $\rho_k$  описує збудження всієї системи з хвильовим вектором  $k$ , перехід частинок зі стану з квазіімпульсом  $q$  до стану з квазіімпульсом  $q+k$ .

У результаті отримуємо:

$$S(k, \omega) = \frac{1}{N^2} \sum_{jl} e^{ik(R_j - R_l)} \langle \langle n_j | n_l \rangle \rangle_\omega. \quad (13)$$

Методом рівнянь руху одержано вираз для функції Гріна  $\langle \langle n_j | n_l \rangle \rangle_\omega$  системи, що описується гамільтоніаном (1), а також отримано вирази для відповідних середніх у формулах (9), (7). Унаслідок маємо:

$$n(k) = \frac{1}{N^2} \frac{1}{Z} \sum_{s=1}^N \sum_{j=1}^N e^{ik(R_j - R_s)} \sum_{pq} A_{pq}^{s*} A_{pq}^j e^{-\beta \lambda_q}. \quad (14)$$

Структурний фактор:

$$\begin{aligned} S(k) &= \frac{1}{N^2} \frac{1}{Z} \sum_{m=1}^N \sum_{j=1}^N e^{ik(R_j - R_m)} \sum_{rq} \sum_p A_{pr}^{j*} A_{pq}^j \\ &\times \sum_n A_{nq}^{m*} A_{nr}^m e^{-\beta \lambda_r}. \end{aligned} \quad (15)$$

Динамічний структурний фактор:

$$S(k, \omega) = \frac{\hbar}{2\pi} \frac{1}{N^2} \frac{1}{Z} \sum_{m=1}^N \sum_{j=1}^N e^{ik(R_j - R_m)} \sum_{rq} \sum_p A_{pr}^{j*} A_{pq}^j \times \sum_n A_{nq}^{m*} A_{nr}^m \frac{e^{-\beta\lambda_r} - e^{-\beta\lambda_q}}{\hbar\omega - (\lambda_q - \lambda_r)}. \quad (16)$$

Для докладнішого аналізу отриманих у цій праці результатів на рисунках 1, 2 наведені деякі з одержаних раніше фазових діаграм для моделі йонного провідника, описаної вище [36, 37], і в цій статті подаємо розрахунки характеристик (14), (15), (16) при параметрах моделі, що відповідають цим діаграмам.

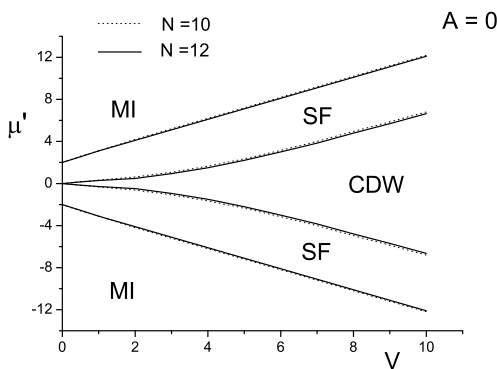


Рис. 1. Фазова діаграма одновимірного йонного провідника в  $(\mu', V)$  координатах, ( $T = 0$ ) [37]

Fig. 1. Phase diagram for a one-dimensional ionic conductor in the  $(\mu', V)$  coordinates, ( $T = 0$ ) [37]

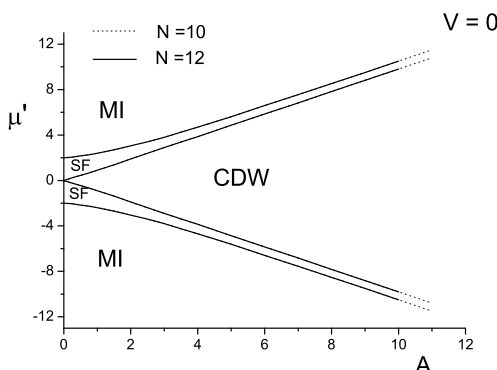


Рис. 2. Фазова діаграма одновимірного йонного провідника в  $(\mu', A)$  координатах, ( $T = 0$ ) [37]

Fig. 2. Phase diagram for a one-dimensional ionic conductor in the  $(\mu', A)$  coordinates, ( $T = 0$ ) [37]

Ці фазові діаграми були отримані для  $N = 10$  і  $N = 12$ . На рис. 1 фазова діаграма є в координатах  $(\mu', V)$ , якщо  $A = 0$ . Розрахунки показують, що різниця в розташуванні границі між фазами (в  $\mu'$ -координатах) для  $N = 10$  і  $N = 12$  становить 2-3

відсотки. Для фазової діаграми в  $(\mu', A)$ -координатах (рис. 2; тут  $V = 0$ ) ця різниця становить лише 0.5 відсотка і ця діаграма збігається з точною фазовою діаграмою, отриманою аналітично в працях [24, 26]. Точний аналітичний розв'язок одержано застосуванням перетворення Йордана–Вігнера, яке робить можливим перехід від гамільтоніана жорстких бозонів до гамільтоніана невзаємодійних безспінових ферміонів (лише в одновимірному випадку і лише за  $V = 0$ ). На цих діаграмах ми отримали, що ширина ділянки CDW-фази (у  $\mu'$ -координатах) зростає як зі збільшенням величини короткосяжної взаємодії  $V$  (див. рис. 1), так і величини модулювального поля  $A$  (див. рис. 2). В останньому випадку ми одержали лінійну залежність від поля  $A$  (лінії, що розділяють CDW- і SF-фази, мають вигляд  $\mu' = A$  і  $\mu' = -A$ ).

Числові значення всіх енергетичних параметрів (включно з  $\hbar\omega$ ) подано у відношенні до параметра переносу  $t$ , і вони безрозмірні. Експериментальні дані, квантово-хімічні розрахунки, напівемпіричні теоретичні оцінки пропонують широку ділянку значень величини короткосяжної взаємодії між йонами,  $V = 3 \cdot 10^3 \dots 10^4 \text{ cm}^{-1}$ , залежно від об'єктів, які розглядаємо [38–40]. Параметр переносу  $t$  набуває значень у межах  $40 \dots 2500 \text{ cm}^{-1}$ . Значення константи короткосяжної кореляції між частинками ми міняли в широких межах:  $V/t = 0, 1, \dots, 10$ . Для зручності введено величину  $\mu' = \mu - V$ . Усі розрахунки виконано для ланцюжка із  $N = 12$  і температури, що дорівнює нульові ( $T = 0$ ).

#### IV. СТРУКТУРНИЙ ФАКТОР

Структурний фактор  $S(k)$  розраховано за співвідношенням (15). Стосовно величини  $n(k)$ , то ефективніше досліджувати уніфіковану характеристику, тому у виразі (14) потрібно не враховувати доданків з  $R_j = R_s$ , що в сумі визначають середню заселеність йонних позицій, поділену на кількість позицій  $N$ , і є однаковими для всіх значень хвильового вектора. Таким способом ми розраховували  $n'(k)$ :

$$n'(k) = \frac{1}{N^2} \frac{1}{Z} \sum_{s=1}^N \sum_{j=1}^N e^{ik(R_j - R_s)} \sum_{pq} A_{pq}^{s*} A_{pq}^j e^{-\beta\lambda_q}. \quad (17)$$

Ми отримали пік в  $n'(k)$  за  $k = 0$  і  $k = \pi/a$  у фазі типу суперфлюїду, що вказує на далекосяжну одночастинкову кореляцію (тут  $a$  — стала ґратки). На рис. 3 показано отриману залежність  $n'(k)$  від хвильового вектора в околі  $k = \pi/a$  в SF-фазі й у впорядкованій, модулюваній CDW-фазі за різних значень величини взаємодії між частинками  $V$  і від різних значень величини модулювального поля  $A$ . Під час розрахунків ми обмежилися випадком  $N = 12$ . Ми не отримуємо розбіжності  $n'(k)$  за  $k \rightarrow 0$  через невеликий розмір ланцюжкової структури, яку тут розглядаємо. У попередніх наших працях (див., наприклад, [12, 36]) показано, що в одновимірному випадку, який розглядаємо, CDW-фаза реалізується лише за половинного запов-

нення йонних позицій (густина  $\rho = \frac{1}{N} \sum_{i=1}^N \langle n_i \rangle = 0.5$ ); за  $\rho = 0$  і  $\rho = 1$  маємо стан моттівського діелектрика (*MI*), за решти проміжних густин ми отримали SF-фазу. Між описаними вище фазами маємо квантові

фазові переходи, якщо  $T = 0$ , тобто зміну основного стану системи зі зміною деяких параметрів. На рисунку 3 SF-фаза зображена за густини  $\rho = 0.25$ , за якої здебільшого ми отримали максимальні значення  $n'(k)$  при  $k = 0$  і  $k = \pi/a$ .

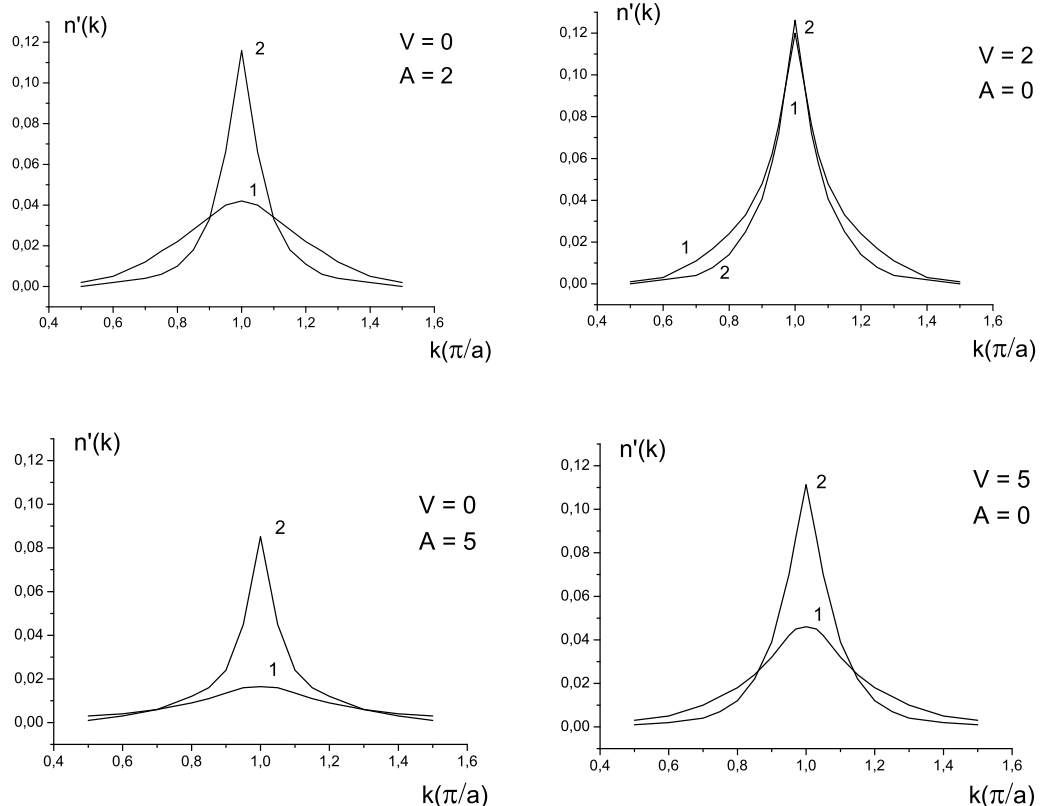


Рис. 3. Залежність  $n'(k)$  від хвильового вектора. Зліва при  $V = 0$ ,  $A = 2$  і  $A = 5$ , праворуч  $A = 0$ ,  $V = 2$  і  $V = 5$ . На всіх графіках крива 1 — в CDW-фазі ( $\rho = 0.5$ ), крива 2 — в SF-фазі ( $\rho = 0.25$ )

Fig. 3. Dependence of  $n'(k)$  on the wave vector. On the left: for  $V = 0$ ,  $A = 2$  and  $A = 5$ , on the right: for  $A = 0$ ,  $V = 2$  and  $V = 5$ . On all graphs, curve 1 is in CDW-phase ( $\rho = 0.5$ ), curve 2 is in SF-phase ( $\rho = 0.25$ )

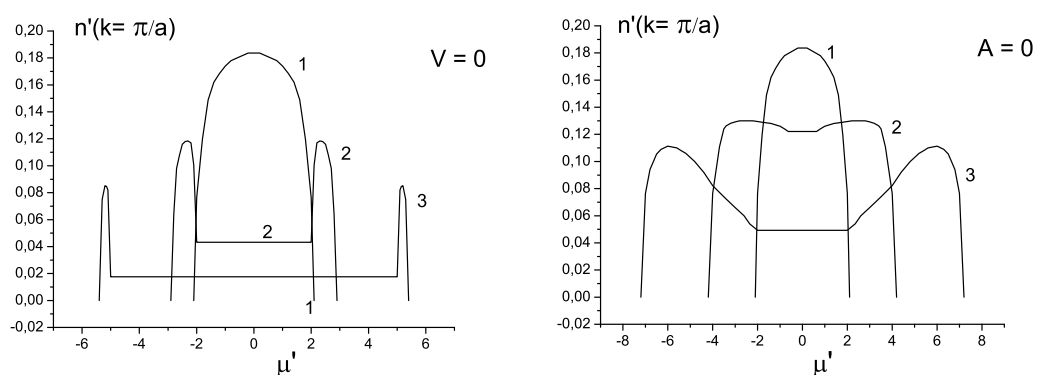


Рис. 4. Залежність  $n'(k = \pi/a)$  від хімічного потенціалу  $\mu'$ . Зліва криві 1; 2; 3, відповідно, за  $A = 0; 2; 5$ , ( $V = 0$ ); праворуч криві 1; 2; 3, відповідно, за  $V = 0; 2; 5$ , ( $A = 0$ )

Fig. 4. Dependence of  $n'(k = \pi/a)$  on the chemical potential  $\mu'$ . On the left: 1; 2; 3 curves, respectively, for  $A = 0; 2; 5$ , ( $V = 0$ ); on the right: 1; 2; 3 curves, respectively, for  $V = 0; 2; 5$ , ( $A = 0$ )

На рис. 4 проказана залежність  $n'(k = \pi/a)$  від хімічного потенціалу  $\mu'$ , що дає змогу бачити зміну величини цієї характеристики при  $k = \pi/a$  в різних фазах і прямо порівняти з фазовими діаграмами, що є на рисунках 1, 2.

Отримано максимуми  $n'(k = \pi/a)$  в SF-фазі й мінімальні значення в CDW-фазі. За наявності модулювального поля  $A$ -максимуми вужчі, як і межі ділянки SF-фази. Зокрема, як приклад, якщо  $A = 5$  ( $V = 0$ ) (див. рис. 2 і відповідно 4), то SF-фаза є у вузьких межах  $-5.6 < \mu' < -4.86$  і  $4.86 < \mu' < 5.6$ , тоді як CDW-фаза займає широку ділянку  $-4.86 < \mu' < 4.86$ , що відповідає щілині в спектрі, і на всьому цьому проміжку середня заселеність іонних позицій дорівнює  $1/2$ , ( $\rho = 0.5$ ). Оптимальніший має вигляд залежність  $n'(k = \pi/a)$  від густини  $\rho$  (рис. 5).

Тут, знову ж, якщо  $\rho = 0.5$ , то чіткіше виділяється CDW-фаза за наявності модулювального поля  $A$ .

Наявність як короткосяжної відштовхувальної вза-

ємодії між іонами, що заселяють сусідні позиції ( $V$ ), так і модулювального поля ( $A$ ), навіть як завгодно малими за величиною, спричиняє утворення щілини в спектрі і, відповідно, появу CDW-фази за половинного заповнення іонних позицій (див. фазові діаграми, рис. 1, 2). Поле  $A$  значно сильніше, ніж короткосяжна взаємодія між частинками  $V$ , розширяє ділянку CDW-фази (у координатах  $\mu'$ ) і пригнічує SF-фазу. Очевидно, саме тому ми отримали (див. рис. 3–5), що зростання величини поля  $A$  приводить до значнішого зменшення далекосяжної кореляції між частинками  $n'(k = \pi/a)$ , ніж відповідне збільшення взаємодії між частинками  $V$ .

У цій статті подано розрахунки структурного фактора  $S(k)$  при хвильовому векторі  $k = \pi/a$ , який характеризує впорядковану CDW-фазу (модульована структура, "шахове" впорядкування, checkerboard order). На рис. 6 зображене отриману залежність  $S(k = \pi/a)$  від густини  $\rho$ .

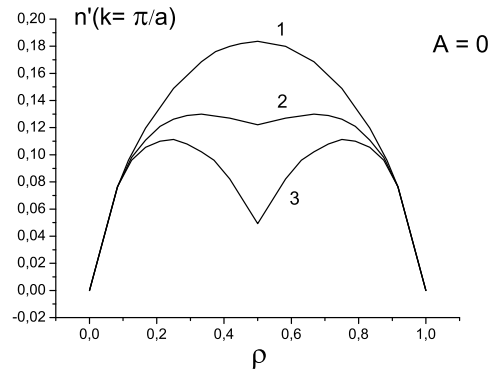
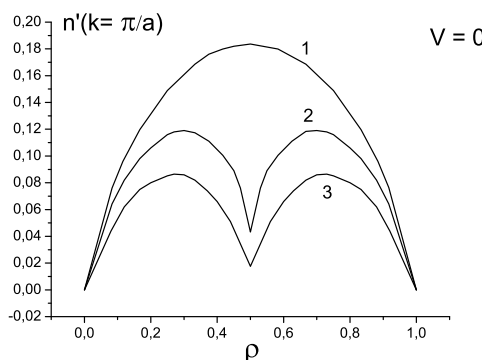


Рис. 5. Залежність  $n'(k = \pi/a)$  від густини  $\rho$ . Зліва криві 1; 2; 3 відповідно за  $A = 0; 2; 5$ , ( $V = 0$ ); праворуч криві 1; 2; 3 відповідно за  $V = 0; 2; 5$ , ( $A = 0$ )

Fig. 5. Dependence of  $n'(k = \pi/a)$  on the density  $\rho$ . On the left: 1; 2; 3 curves, respectively, for  $A = 0; 2; 5$ , ( $V = 0$ ); on the right: 1; 2; 3 curves, respectively, for  $V = 0; 2; 5$ , ( $A = 0$ )

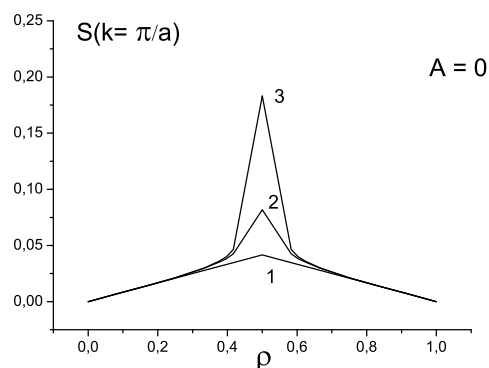
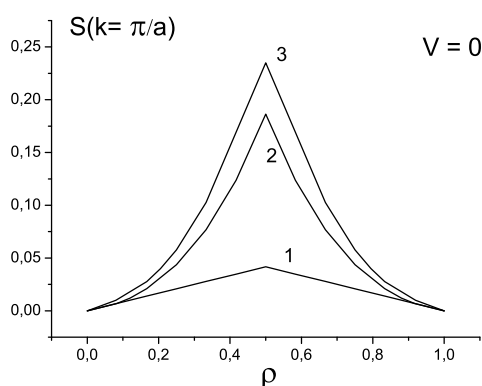


Рис. 6. Залежність структурного фактора  $S(k = \pi/a)$  від густини  $\rho$ . Зліва криві 1; 2; 3 відповідно за  $A = 0; 2; 5$ , ( $V = 0$ ); праворуч криві 1; 2; 3 відповідно за  $V = 0; 2; 5$ , ( $A = 0$ )

Fig. 6. Dependence of  $n'(k = \pi/a)$  on the density  $\rho$ . On the left: 1; 2; 3 curves, respectively, for  $A = 0; 2; 5$ , ( $V = 0$ ); on the right: 1; 2; 3 curves, respectively, for  $V = 0; 2; 5$ , ( $A = 0$ )

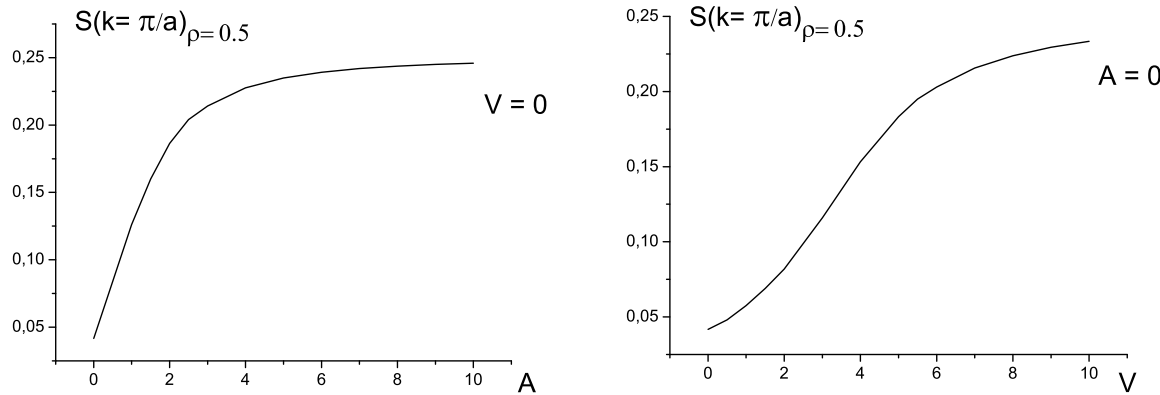


Рис. 7. Залежність структурного фактора  $S(k = \pi/a)$  за густини  $\rho = 0.5$  від модулювального поля  $A$  ( $V = 0$ ) і від взаємодії між частинками  $V$  ( $A = 0$ )

Fig. 7. Dependence of structure factor  $S(k = \pi/a)$  with the density  $\rho = 0.5$  on the modulating field  $A$  ( $V = 0$ ); and on the interactions between ions  $V$  ( $A = 0$ )

Одержаній максимум  $S(k = \pi/a)$  за  $\rho = 0.5$  підтверджує наявність упорядкованої модульованої структури CDW-фази. Також підтверджується те, що наявність модулювального поля  $A$  значно більше, ніж взаємодія  $V$ , сприяє утворенню модульованої структури. На рис. 7 показано залежність максимуму  $S(k = \pi/a)$ , який є при густині  $\rho = 0.5$ , від поля  $A$  і взаємодії між частинками  $V$ .

Якщо  $A = 10$  ( $V = 0$ ), то крива вже виходить на насичення, тоді як за  $V = 10$  ( $A = 0$ ) такого не спостерігаємо. Згідно з нашими розрахунками для виходу кривої на насичення потрібна величина взаємодії  $V > 20$ .

## V. ДИНАМІЧНИЙ СТРУКТУРНИЙ ФАКТОР

Динамічний структурний фактор  $S(k, \omega)$  розраховуємо за співвідношенням (16). Частотна залежність  $S(k, \omega)$  має дискретну структуру та містить ряд ділків у зв'язку зі скінченим розміром ланцюжка. Розраховуючи, ми обмежилися випадком  $N = 12$ . Уведено також малий параметр  $\Delta$  для розширення ділків згідно з розподілом Лоренца  $\delta(\hbar\omega) \rightarrow \frac{1}{\pi} \frac{\Delta}{(\hbar\omega)^2 + \Delta^2}$ . У цій праці  $\Delta$  узято рівним  $\Delta = 0.15$  у безрозмірних енергетичних одиницях. На рисунках 8-10 зображені результати розрахунку залежності  $S(k, \omega)$  від хвильового вектора та частоти в різних фазах і за різних значень короткосяжної взаємодії між частинками  $V$  і модулювального поля  $A$ . На рисунку 8 показано  $S(k, \omega)$  у модульованій CDW-фазі ( $\rho = 0.5$ ) для  $V = 0$ ;  $A = 2$  і  $A = 5$ . На відповідній фазовій діаграмі (див. рис. 2) це відповідає  $\mu' = 0$  і відповідно  $A = 2$  чи  $A = 5$ . У ділянці частот для обох випадків отримано широкий максимум, який являє собою групу піків, що за енергією відповідають ширині забороненої зони (щілина в спектрі  $E_g$ ), яку легко бачити на відповідній фазовій діаграмі. Зазначимо, що одночастинкові спектральні густини, з використанням яких будувалися

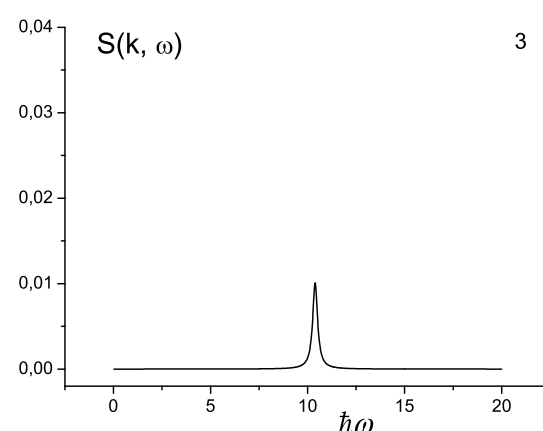
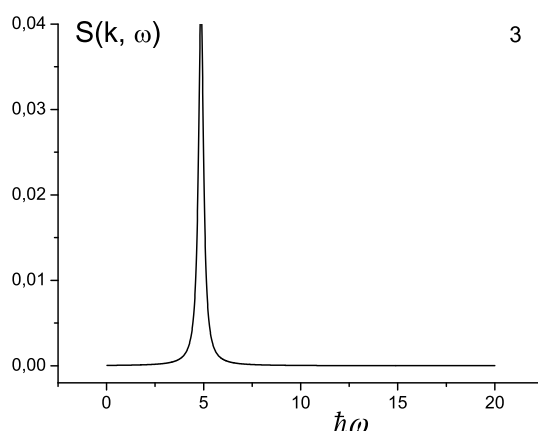
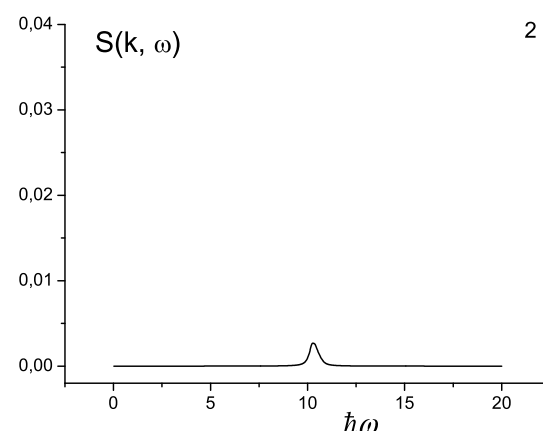
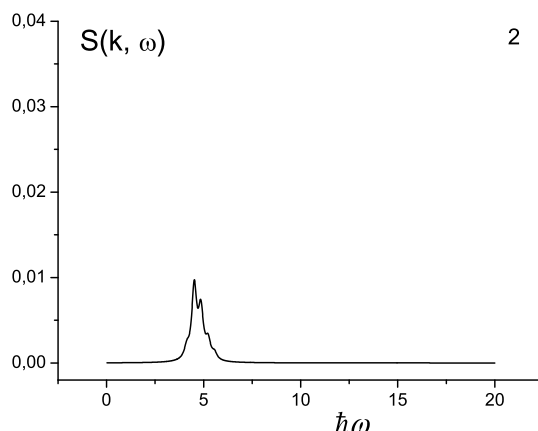
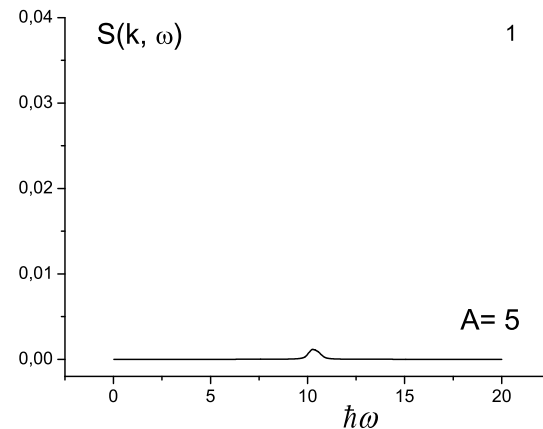
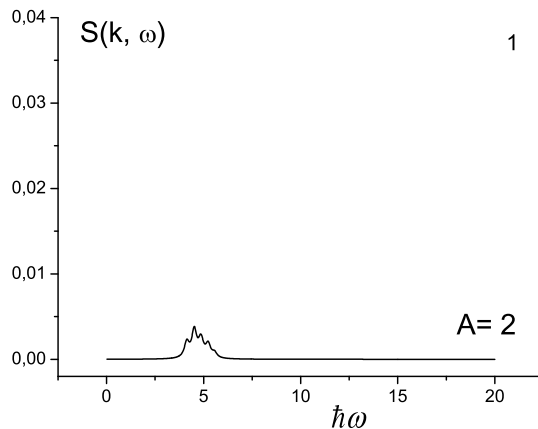
фазові діаграми (див. [12, 36, 37]) і динамічний структурний фактор  $S(k, \omega)$ , мають узагалі різні особливості.  $S(k, \omega)$  визначається двочастинковими переходами. Тому не треба очікувати в усьому аналогії в їхній поведінці.

Для  $A = 2$  група піків є на проміжку  $4 < \hbar\omega < 6$ , для  $A = 5$  — на проміжку  $10 < \hbar\omega < 11$  (усі енергії в одиницях  $t$ ). Як видно з рис. 8, положення отриманих груп піків практично не залежить від хвильового вектора  $k$ , але зі зростанням  $k$  у межах  $0 \leq k \leq \pi/a$  відбувається перерозподіл інтенсивностей піків усередині груп: інтенсивність їхня зростає, починаючи від  $k = 0$ , де  $S(k = 0, \omega) = 0$ . Низькочастотних піків нема. Аналіз енергетичного спектра системи в CDW-фазі свідчить, що в спектрі відсутні низькоенергетичні збуджені стани. За  $T = 0$  маємо переходи лише з основного стану в збуджений. Натомість, в SF-фазі (див. рис. 9), отримано низькочастотні піки, що є підтвердженням можливості такої фази. Відповідно, і в енергетичному спектрі ми маємо наявність низькоенергетичних збуджених станів, у які можливі переходи з основного стану системи. Правила відбору, які визначаються матрицями  $A_{lm}$ , регулюють, у які стані відбуваються переходи. На рис. 9 зображені  $S(k, \omega)$  в SF-фазі для цих же параметрів  $V = 0$ ;  $A = 2$  і  $A = 5$ , але тут  $\rho = 0.25$ , що на діаграмі (див. рис. 2) відповідає  $\mu' = -2.4$  для  $A = 2$  і  $\mu' = -5.2$  для  $A = 5$ . В SF-фазі ми отримали максимум  $S(k, \omega)$  в високочастотній ділянці, де спостерігався максимум в CDW-фазі, але тут він значно вужчий. Інтенсивності піків, що формують цей максимум, суттєво менші, ніж інтенсивності низькочастотних піків. Як і у CDW-фазі, положення максимуму слабо залежить від хвильового вектора  $k$ .

На рис. 10 зображені  $S(k, \omega)$  в SF-фазі для  $A = 0$ ;  $V = 2$  і  $V = 5$ ,  $\rho = 0.25$ , що на діаграмі (див. рис. 1) відповідає  $\mu' = -3.2$  для  $V = 2$  і  $\mu' = -5.6$  для  $V = 5$ . На відміну від попереднього випадку ми отримали значно ширші максимуми  $S(k, \omega)$  (які складаються з

груп піків) у ділянці низьких частот. Зі зміною хвильового вектора  $k$  відбувається перерозподіл інтенсивностей піків. Широкий максимум  $S(k, \omega)$  в SF-фазі за  $A = 0$  є в тій самій ділянці частот  $0 < \hbar\omega < 5$  для  $V = 2$  і  $V = 5$  (див. рис. 10) і також для  $V = 0$ , якого тут не подано. Різниця лише в інтенсивності окремих піків, які формують цей максимум. Отже, вплив

міжчастинкової взаємодії  $V$  на спектри  $S(k, \omega)$  значно слабший, ніж вплив поля  $A$ . У всіх випадках інтенсивності низькочастотних піків (SF-фаза) зростають зі зростанням хвильового вектора  $k$  на проміжку  $0 \leq k \leq \pi/2a$  і спадають на проміжку  $\pi/2a \leq k \leq \pi/a$ , є і відсутні за  $k = \pi/a$  (як і за  $k = 0$ ). Інтенсивності високочастотних піків, які є в ділянці енергії  $E_g$ , суттєво зростають на всьому проміжку  $0 \leq k \leq \pi/a$ .



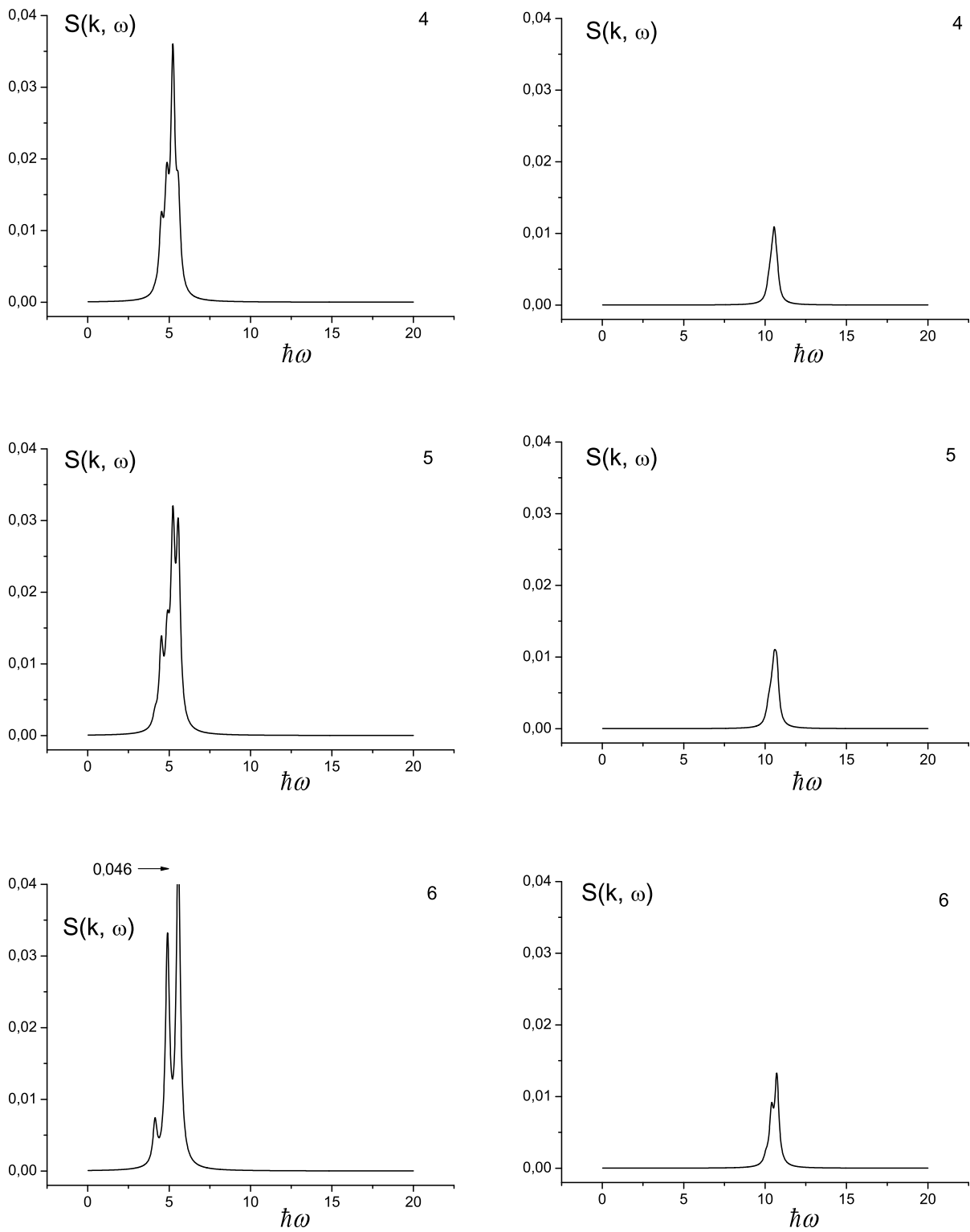
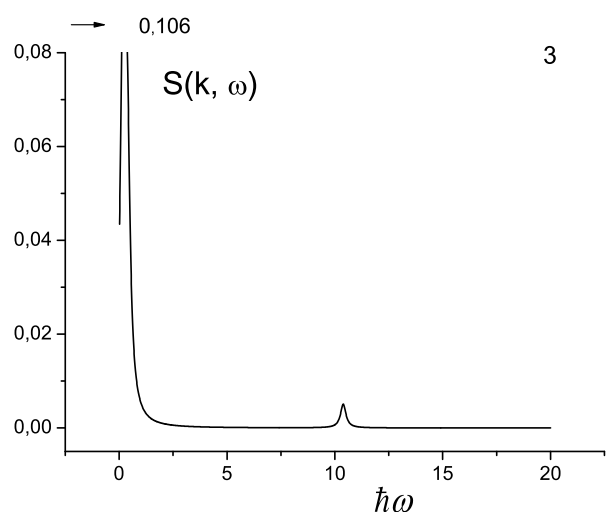
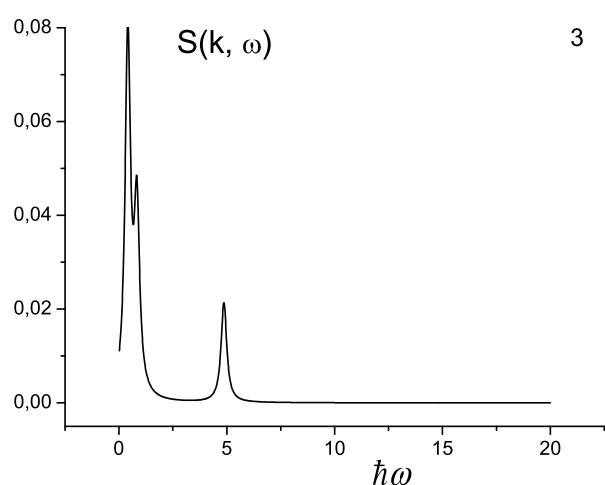
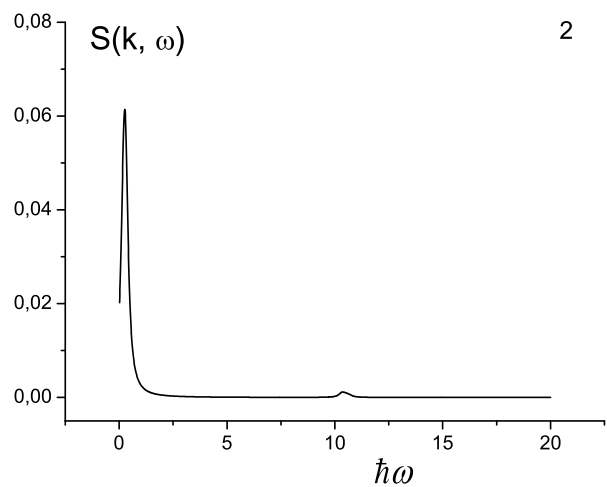
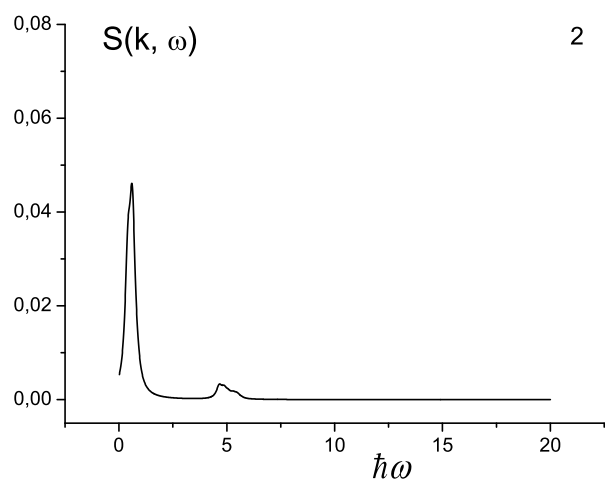
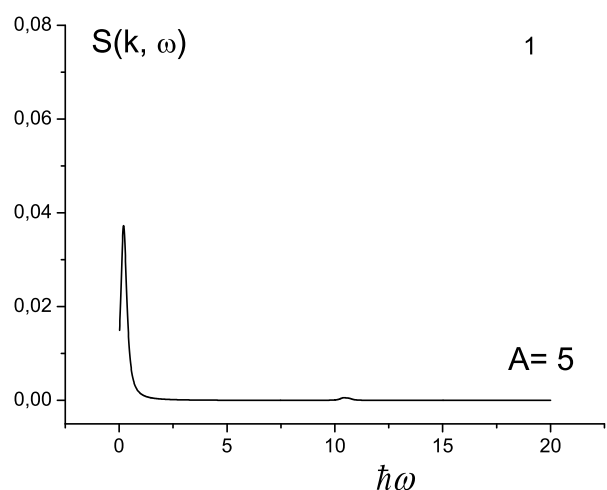
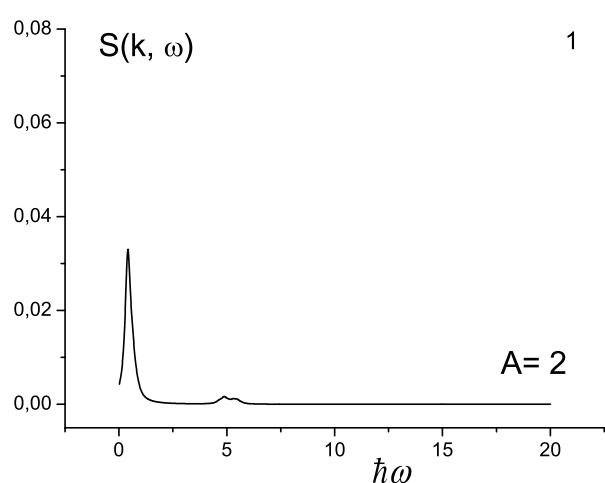


Рис. 8. Залежність динамічного структурного фактора  $S(k, \omega)$  від хвильового вектора та частоти за  $V = 0$  в CDW-фазі ( $\rho = 0.5$ ). Зліва  $A = 2$ , праворуч  $A = 5$ . Рисункам 1; 2; 3; 4; 5; 6 відповідає хвильовий вектор  $k = 0.1; 0.25; 0.5; 0.75; 0.9; 1(\pi/a)$

Fig. 8. Dependence of dynamic structure factor  $S(k, \omega)$  on the wave vector and frequency for  $V = 0$  in CDW phase ( $\rho = 0.5$ ). On the left:  $A = 2$ , on the right:  $A = 5$ . Figures 1; 2; 3; 4; 5; 6 corresponds to wave-vector  $k = 0.1; 0.25; 0.5; 0.75; 0.9; 1(\pi/a)$



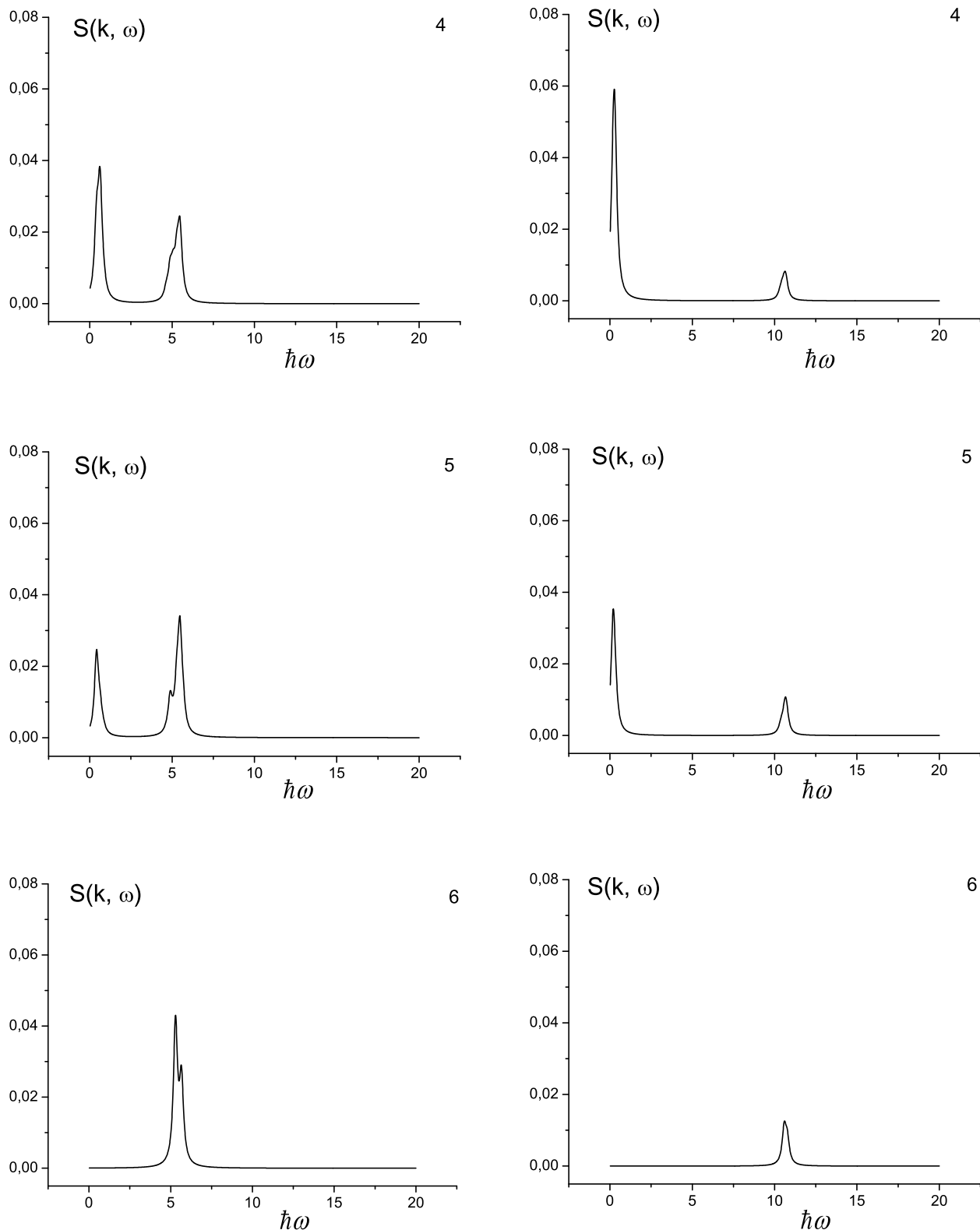
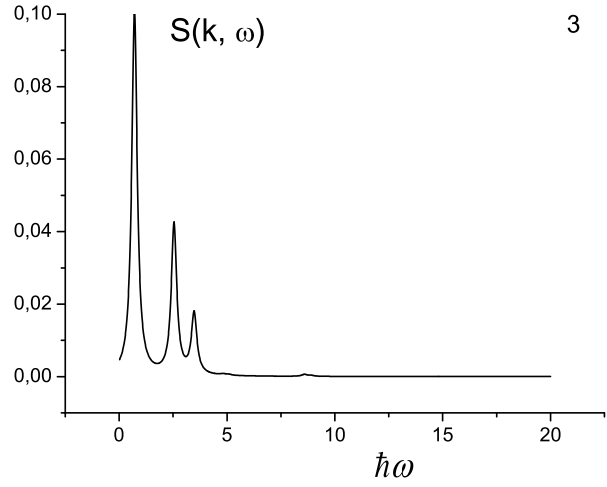
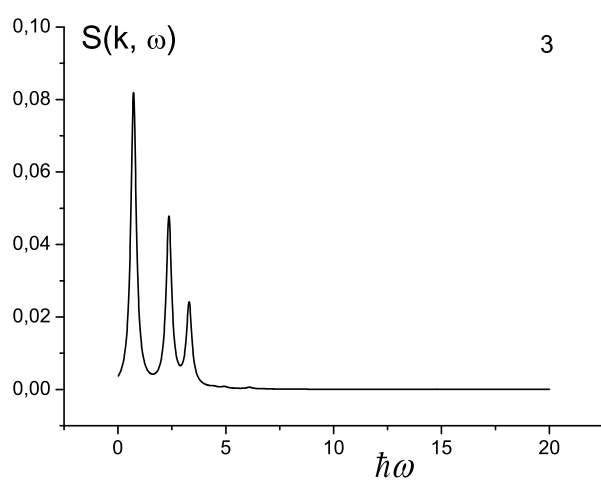
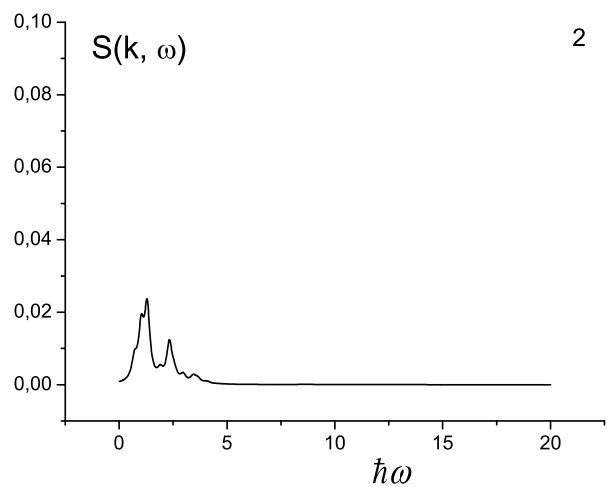
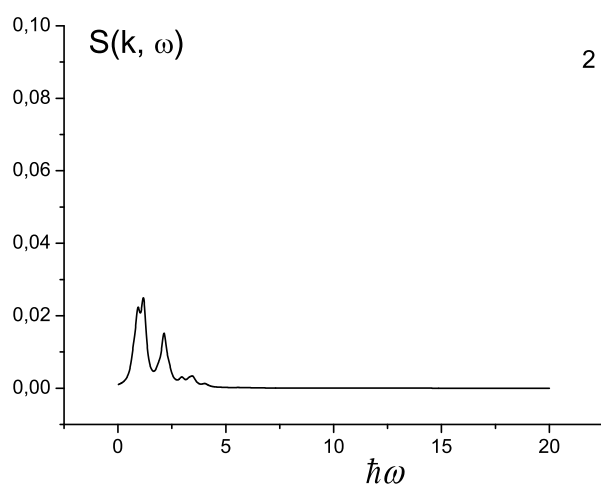
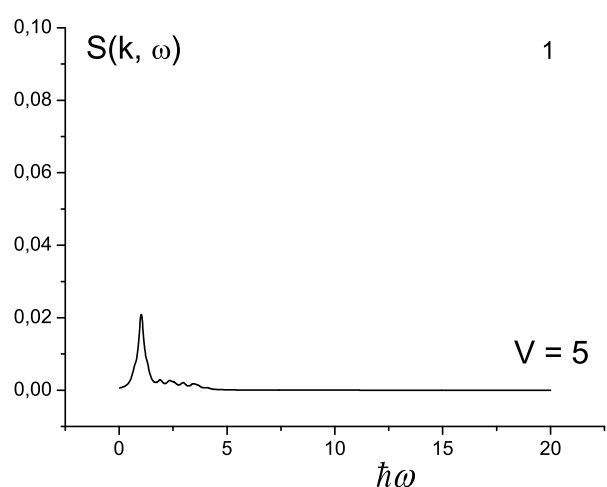
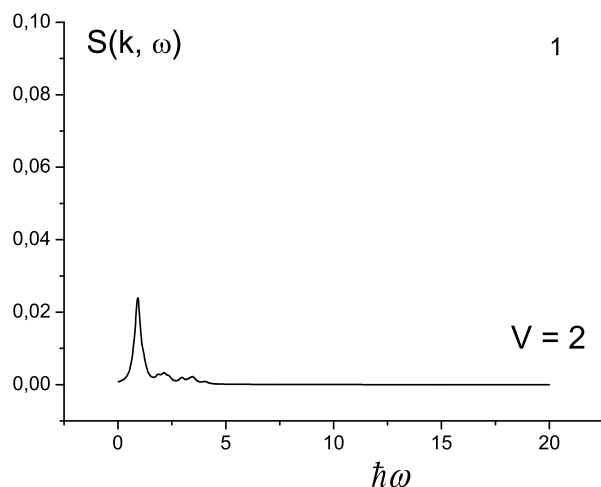


Рис. 9. Залежність динамічного структурного фактора  $S(k, \omega)$  від хвильового вектора й частоти за  $V = 0$  в SF-фазі ( $\rho = 0.25$ ). Зліва  $A = 2$ , праворуч  $A = 5$ . Рисункам 1; 2; 3; 4; 5; 6 відповідає хвильовий вектор  $k = 0.1; 0.25; 0.5; 0.75; 0.9; 1(\pi/a)$

Fig. 9. Dependence of dynamic structure factor  $S(k, \omega)$  on the wave vector and frequency for  $V = 0$  in SF phase ( $\rho = 0.25$ ).

On the left:  $A = 2$ , on the right:  $A = 5$ . Figures 1; 2; 3; 4; 5; 6 corresponds to wave-vector  $k = 0.1; 0.25; 0.5; 0.75; 0.9; 1(\pi/a)$



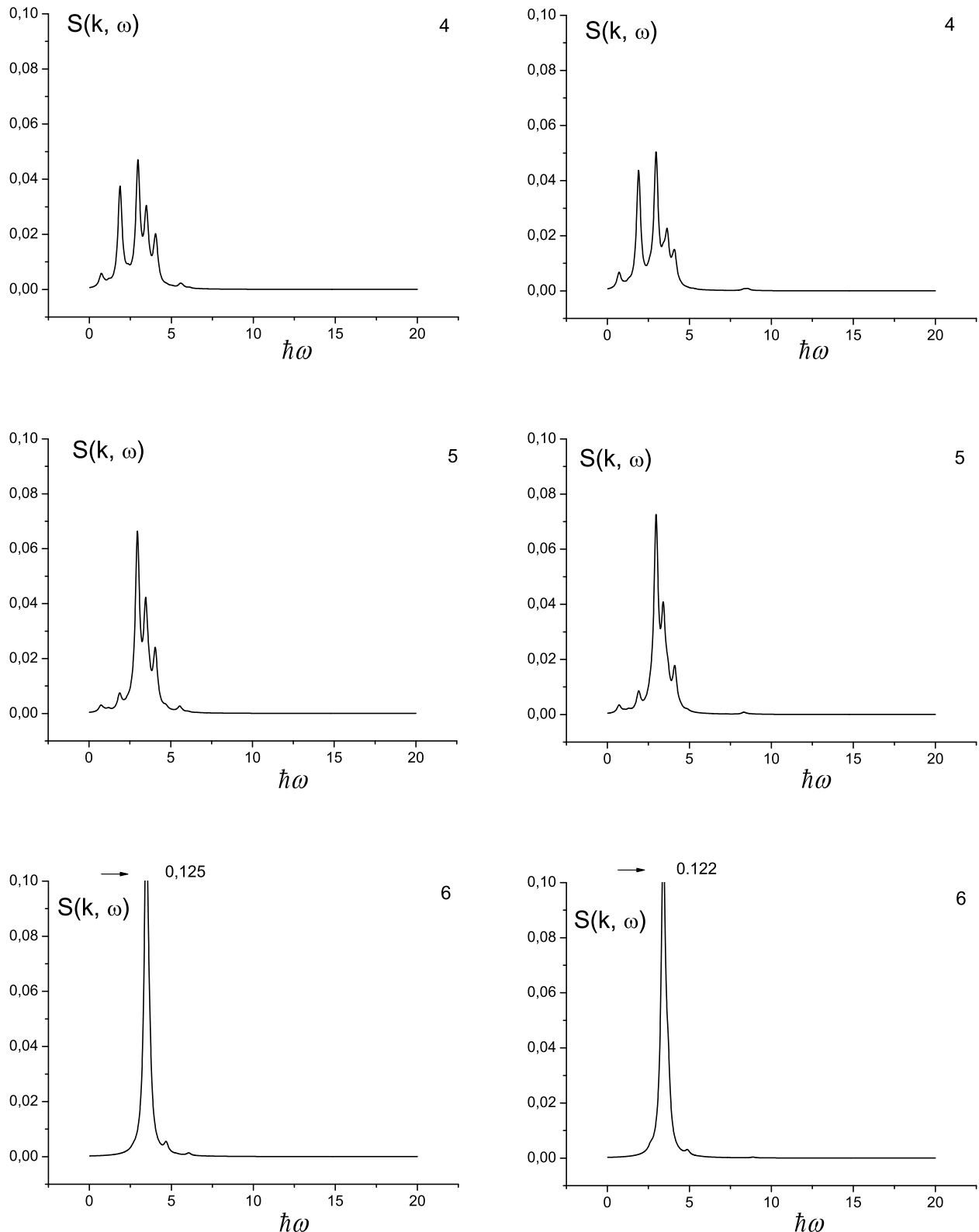


Рис. 10. Залежність динамічного структурного фактора  $S(k, \omega)$  від хвильового вектора й частоти за  $A = 0$  в SF-фазі ( $\rho = 0.25$ ). Зліва  $V = 2$ , праворуч  $V = 5$ . Рисункам 1; 2; 3; 4; 5; 6 відповідає хвильовий вектор  $k = 0.1; 0.25; 0.5; 0.75; 0.9; 1(\pi/a)$

Fig. 10. Dependence of dynamic structure factor  $S(k, \omega)$  on the wave vector and frequency for  $A = 0$  in SF phase ( $\rho = 0.25$ ).

On the left:  $V = 2$ , on the right:  $V = 5$ . Figures 1; 2; 3; 4; 5; 6 correspond to wave-vector  $k = 0.1; 0.25; 0.5; 0.75; 0.9; 1(\pi/a)$

## VI. ВИСНОВКИ

У межах розширеної моделі жорстких бозонів методом точної діагоналізації розраховано енергетичний спектр одновимірного скінченного йонного провідника з періодичними граничними умовами. Модель враховує переміщення йонів між сусідніми позиціями (параметр  $t$ ), короткосяжну відштовхувальну взаємодію між йонами (параметр  $V$ ), а також модулювальне поле  $A$ , що сприяє модуляції в просторовому розподілі йонів. У цій праці досліджено одночастинкову кореляцію, розраховано структурний і динамічний структурний фактори за температури  $T = 0$ . Ми отримали пік характеристики одночастинкової кореляції  $n'(k)$  за  $k = 0$  і  $k = \pi/a$  в SF-фазі, що сигналізує про далекосяжну одночастинкову кореляцію. Поле  $A$  значно сильніше розширює ділянку CDW-фази (у координатах  $\mu'$ ) і пригнічує SF-фазу, ніж короткосяжна взаємодія між частинками  $V$ . Очевидно, саме тому

ми отримали, що зростання величини поля  $A$  приводить до значнішого зменшення далекосяжної кореляції між частинками  $n'(k = \pi/a)$ , ніж відповідне збільшення взаємодії між частинками  $V$ . Для структурного фактора навпаки: зростання величини поля  $A$  приводить до значнішого збільшення  $S(k = \pi/a)$ , ніж відповідна зміна взаємодії між частинками  $V$ . Отримані максимуми структурного фактора, якщо  $k = \pi/a$ , за половинного заповнення йонних позицій (густота  $\rho = 0.5$ ), як і максимуми динамічного структурного фактора в ділянці частот, що за енергією відповідають ширині забороненої зони, підтверджують наявність упорядкованої модульованої (CDW) фази за  $\rho = 0.5$ . Наявність максимумів динамічного структурного фактора  $S(k, \omega)$  у ділянці низьких частот за  $\rho = 0.25$  підтверджує можливість існування фази типу суперфлюїду (SF). Ми показали, що вплив міжчастинкової взаємодії  $V$  на спектри  $S(k, \omega)$  значно слабший, ніж вплив поля  $A$ .

- 
- [1] D. Müller, D. Z. Anderson, R. J. Grow, P. D. D. Schwindt, E. A. Cornell, Phys. Rev. Lett. **83**, 5194 (1999); <https://doi.org/10.1103/PhysRevLett.83.5194>.
  - [2] J. H. Thywissen, R. M. Westervelt, M. Prentiss, Phys. Rev. Lett. **83**, 3762 (1999); <https://doi.org/10.1103/PhysRevLett.83.3762>.
  - [3] N. H. Dekker *et al.*, Phys. Rev. Lett. **84**, 1124 (2000); <https://doi.org/10.1103/PhysRevLett.84.1124>.
  - [4] M. Key *et al.*, Phys. Rev. Lett. **84**, 1371 (2000); <https://doi.org/10.1103/PhysRevLett.84.1371>.
  - [5] K. Bongs *et al.*, Phys. Rev. A **63**, 031602(R) (2001); <https://doi.org/10.1103/PhysRevA.63.031602>.
  - [6] F. Schreck *et al.*, Phys. Rev. Lett. **87**, 080403 (2001); <https://doi.org/10.1103/PhysRevLett.87.080403>.
  - [7] A. Görlitz *et al.*, Phys. Rev. Lett. **87**, 130402 (2001); <https://doi.org/10.1103/PhysRevLett.87.130402>.
  - [8] H. Moritz, T. Stöferle, M. Köhl, T. Esslinger, Phys. Rev. Lett. **91**, 250402 (2003); <https://doi.org/10.1103/PhysRevLett.91.250402>.
  - [9] M. Greiner, I. Bloch, O. Mandel, T. W. Hänsch, T. Esslinger, Phys. Rev. Lett. **87**, 160405 (2001); <https://doi.org/10.1103/PhysRevLett.87.160405>.
  - [10] T. Stöferle, H. Moritz, C. Schori, M. Köhl, T. Esslinger, Phys. Rev. Lett. **92**, 130403 (2004); <https://doi.org/10.1103/PhysRevLett.92.130403>.
  - [11] I. V. Stasyuk, O. A. Vorobyov, R. Ya. Stetsiv, Ferroelectrics **426**, 6 (2012); <http://dx.doi.org/10.1080/00150193.2012.671087>.
  - [12] R. Ya. Stetsiv, J. Phys. Stud. **17**, 4702 (2013); <https://doi.org/10.30970/jps.17.4702>.
  - [13] R. Ya. Stetsiv, O. Vorobyov, Phys. Chem. Solid State **15**, 244 (2014).
  - [14] R. Ya. Stetsiv, O. Ya. Farenyuk, J. Phys. Stud. **25**, 2702 (2021); <https://doi.org/10.30970/jps.25.2702>.
  - [15] I. V. Stasyuk, R. Ya. Stetsiv, Condens. Matter Phys. **19**, 43704 (2016); <https://doi.org/10.5488/CMP.19.43704>.
  - [16] D. Pines, P. Nozieres, *The Theory of Quantum Liquids* (Perseus Books, Cambridge, 1999).
  - [17] S. Sachdev, Science **288**, 475 (2000); <https://doi.org/10.1126/science.288.5465.475>.
  - [18] R. Roth, K. Burnett, J. Phys. B **37**, 3893 (2004); <https://doi.org/10.1088/0953-4075/37/19/009>.
  - [19] G. D. Mahan, Phys. Rev. B **14**, 780 (1976); <https://doi.org/10.1103/PhysRevB.14.780>.
  - [20] I. V. Stasyuk, I. R. Dulepa, Condens. Matter Phys. **10**, 259 (2007); <https://doi.org/10.5488/CMP.10.2.259>.
  - [21] I. V. Stasyuk, I. R. Dulepa, J. Phys. Stud. **13**, 2701 (2009); <https://doi.org/10.30970/jps.13.2701>.
  - [22] R. Micnas, J. Ranninger, S. Robaszkiewicz, Rev. Mod. Phys. **62**, 170 (1990); <https://doi.org/10.1103/RevModPhys.62.113>.
  - [23] R. Micnas, S. Robaszkiewicz, Phys. Rev. B **45**, 9900 (1992); <https://doi.org/10.1103/PhysRevB.45.9900>.
  - [24] M. Rigol, A. Muramatsu, M. Olshanii, Phys. Rev. A **74**, 053616 (2006); <https://doi.org/10.1103/PhysRevA.74.053616>.
  - [25] I. Hen, M. Rigol, Phys. Rev. B **80**, 134508 (2009); <https://doi.org/10.1103/PhysRevB.80.134508>.
  - [26] I. Hen, M. Iskin, M. Rigol, Phys. Rev. B **81**, 064503 (2010); <https://doi.org/10.1103/PhysRevB.81.064503>.
  - [27] G. G. Batrouni, R. T. Scalettar, Phys. Rev. B **46**, 9051 (1992); <https://doi.org/10.1103/PhysRevB.46.9051>.
  - [28] G. G. Batrouni, R. T. Scalettar, Phys. Rev. Lett. **84**, 1599 (2000); <https://doi.org/10.1103/PhysRevLett.84.1599>.
  - [29] K. Bernardet *et al.*, Phys. Rev. B **65**, 104519 (2002); <https://doi.org/10.1103/PhysRevB.65.104519>.
  - [30] K. Bernardet, G. G. Batrouni, M. Troyer, Phys. Rev. B **66**, 054520 (2002); <https://doi.org/10.1103/PhysRevB.66.054520>.
  - [31] G. Schmid, S. Todo, M. Troyer, A. Dorneich, Phys. Rev. Lett. **88**, 167208 (2002); <https://doi.org/10.1103/PhysRevLett.88.167208>.
  - [32] B. Paredes *et al.*, Nature **429**, 277 (2004); <https://doi.org/10.1038/nature02530>.

- [33] J. Hubbard, Proc. R. Soc. Lond. **A** **285**, 542 (1965); <https://doi.org/10.1098/rspa.1965.0124>.
- [34] I. B. Стасюк, *Функції Гріна у квантовій статистиці твердих тіл* (ЛНУ імені Івана Франка, Львів, 2013).
- [35] P. Pippard, H. G. Evertz, M. Hohenadler, Phys. Rev. A **80**, 033612 (2009); <https://doi.org/10.1103/PhysRevA.80.033612>.
- [36] R. Ya. Stetsiv, I. V. Stasyuk, O. Vorobyov, Ukr. J. Phys. **59**, 515 (2014); <https://doi.org/10.15407/ujpe59.05.0515>.
- [37] R. Ya. Stetsiv, Condens. Matter Phys. **24**, 23704 (2021); <https://doi.org/10.5488/CMP.24.23704>.
- [38] W. Münch, K. D. Kreuer, U. Traub, J. Maier, Solid State Ion. **77**, 10 (1995); [https://doi.org/10.1016/0167-2738\(95\)00045-8](https://doi.org/10.1016/0167-2738(95)00045-8).
- [39] R. Hassan, E. S. Campbell, J. Chem. Phys. **97**, 4362 (1992); <https://doi.org/10.1063/1.463902>.
- [40] M. Eckert, G. Zundel, J. Phys. Chem. **92**, 7016 (1988); <https://doi.org/10.1021/j100335a035>.

## STRUCTURE FACTOR AND DYNAMIC STRUCTURE FACTOR OF ONE-DIMENSIONAL ION CONDUCTORS

R. Ya. Stetsiv<sup>1</sup>, O. Ya. Farenjuk<sup>1,2</sup>

<sup>1</sup>*Institute for Condensed Matter Physics, National Academy of Sciences of Ukraine,  
1, Svientsitskii St., Lviv, UA-79011, Ukraine  
e-mail: stetsiv@icmp.lviv.ua*

<sup>2</sup>*Ukrainian Catholic University, 17, Svientsitskii St., Lviv, UA-79011, Ukraine  
e-mail: indrekis@icmp.lviv.u*

Using the exact diagonalization technique, the energy spectrum of a one-dimensional finite ionic conductor with periodic boundary conditions was calculated within the framework of the extended hard-core boson lattice model. The model incorporates short-range repulsive interactions between neighboring ions ( $V$  parameter), their transfer ( $t$  parameter), and the modulating field  $A$ , which leads to spatial modulation of the ion distribution. In this research, we investigate the single-particle correlation and calculate the structure and dynamic structure factors at temperature  $T = 0$ . The peak in the characteristics of the single-particle correlation  $n'(k)$  at wave vectors  $k = 0$  and  $k = \pi/a$  was obtained in the superfluid (SF) phase, which points to long-range single-particle correlation. The  $A$  field influences the expansion of the region of the CDW phase (in  $\mu'$  coordinates) and suppresses the SF phase much more than the short-range interaction between particles  $V$ . This could explain our result that an increase in the value of the  $A$  field leads to a more significant reduction of the long-range correlation between particles  $n'(k = \pi/a)$  than a corresponding increase in the interaction between particles  $V$ . In the case of the structure factor, the opposite effect is observed: an increase in the field  $A$  leads to a more significant increase in  $S(k = \pi/a)$  compared to the corresponding change in the interaction between particles  $V$ . The presence of an ordered modulated (CDW) phase at  $\rho = 0.5$  is confirmed by the obtained maxima of the structure factor at  $k = \pi/a$  for the half-filled ion positions (density  $\rho = 0.5$ ), and by the maxima of the dynamic structure factor in the frequencies range corresponding to the energy of the band gap. The presence of maxima of the dynamic structure factor  $S(k, \omega)$  in the region of low frequencies at  $\rho = 0.25$  confirms the potential existence of a superfluid (SF) phase in the ion conductor. We showed that the influence of the interparticle interaction  $V$  on the spectra  $S(k, \omega)$  is significantly weaker compared to the influence of the field  $A$ .

**Key words:** ion conductor, hard-core boson model, structure factor, dynamic structure factor.